

文章编号:1001-6880(2017)4-0543-07

密花莢蒾中两个新的环烯醚萜

杨惠^{1,2},丁林芬¹,涂文超^{1,2},吴兴德^{2*},宋流东^{1*}¹昆明医科大学 药学院暨云南省天然药物药理重点实验室,昆明 650500;²中国科学院昆明植物研究所 植物化学与西部资源持续利用国家重点实验室,昆明 650201

摘要:利用现代色谱分离手段,从莢蒾属植物密花莢蒾(*Viburnum congestum*)枝叶的95%乙醇提取物中分离得到15个化合物,根据理化性质及现代波谱技术鉴定其结构为密花莢蒾甲素(1)、密花莢蒾乙素(2)、adoxoside(3)、2'-(E)-p-coumaroyldihydrophenstemide(4)、3β,23-二羟基-乌苏烷-12-烯-28-酸(5)、ilelatifol A(6)、11-oxoerythrodiol(7)、花旗松素(8)、儿茶素(9)、表儿茶素(10)、表儿茶素-[7,8-bc]-4β-(4-羟基苯)-二氢-2(3H)-吡喃酮(11)、东莨菪素(12)、对羟基苯甲酸甲酯(13)、(E)-对香豆酸乙酯(14)、(E)-对香豆酸(15)。其中,化合物1和2为新化合物,化合物5、6、11、12为首次从莢蒾属植物中分离得到。

关键词:忍冬科;莢蒾属;密花莢蒾;化学成分;环烯醚萜

中图分类号:R284.1

文献标识码:A

DOI:10.16333/j.1001-6880.2017.4.001

Two New Iridoids from *Viburnum congestum*

YANG-Hui^{1,2}, DING Lin-fen¹, TU Wen-chao^{1,2}, WU Xing-de^{2*}, SONG Liu-dong^{1*}

¹School of Pharmaceutical Science & Yunnan Key Laboratory of Pharmacology for Natural Products, Kunming Medical University, Kunming 650500, China; ²State Key Laboratory of Phytochemistry and Plant Resources in West China, Kunming Institute of Botany, Chinese Academy of Sciences, Kunming 650201, China

Abstract: Fifteen compounds were isolated from the twigs and leaves of *Viburnum congestum* by various chromatographic methods. Their structures were identified as viburcongestin A(1), viburcongestin B(2), adoxoside(3), 2'-(E)-p-coumaroyldihydrophenstemide(4), 3β,23-dihydroxyurs-12-en-28-oic acid(5), ilelatifol A(6), 11-oxoerythrodiol(7), taxifolin(8), catechin(9), epicatechin(10), epicatechin-(7,8-bc)-4β-(4-hydroxyphenyl)-dihydro-2(3H)-pyranone(11), scopoletin(12), methylparaben(13), (E)-p-coumarinic acid ethyl ester(14), (E)-p-coumarinic acid(15), respectively, based on spectroscopic methods, including ESI-MS, ¹H and ¹³C NMR, IR, and UV techniques. Among them, compounds 1 and 2 were new compounds and compounds 5, 6, 11, and 12 were isolated from *Viburnum* genus for the first time.

Key words: Caprifoliaceae; *Viburnum*; *Viburnum congestum*; chemical constituents; iridoids

忍冬科(Caprifoliaceae)莢蒾属(*Viburnum*)植物,全球约200种,分布于温带和热带地区,我国有74种,广泛分布于全国各省区,以西南地区种类最多^[1]。莢蒾属植物作为民间药用植物一直被应用,始载于唐代《新修本草》,以其根、茎、叶、枝或果实入药,具有清热解毒、祛风除湿,健脾消食,驱虫,镇咳祛痰等作用^[2]。莢蒾属植物富含结构多样的化学成分,包括萜类、黄酮、木脂素、酚类、香豆素等^[3]。密花莢蒾(*Viburnum congestum*),又名山连

子、红果,对节疤,对节子,产于甘肃、四川西南部、贵州东北部及云南西北部、北部和东南部,生于山谷或山坡丛林中、林缘或灌丛中^[4]。至今为止,尚未有密花莢蒾化学成分的报道。因此,本文对采于云南宣威产的密花莢蒾枝叶进行化学成分研究,从中共分离鉴定化合物15个。其中,化合物1和2为新的环烯醚萜,是一对混合的顺反异构体,化合物5、6、11、12为首次从莢蒾属植物中分离得到。

1 仪器与材料

旋光由 Jasco P-1020 型全自动数字旋光仪测定;IR 用 Bruker Tensor-27 傅立叶变换中红外光谱仪测定,KBr 压片;UV 用 Shimadzu UV 2401 PC 紫外

收稿日期:2016-12-27 接受日期:2017-02-06

基金项目:国家自然科学基金(21662023,21402212);昆明医科大学研究生创新基金(2016S65)

*通讯作者 E-mail:wuxingde@mail.kib.ac.cn;ynsld@126.com

可见分光光度仪测定; ESI-MS 用 Agilent 1290 UPLC/6540 Q-TOF 型 UPLC/Q-Tof 液质联用质谱仪测定; 高分辨质谱用 Agilent G 6230 飞行时间质谱仪测定; 1D 和 2D NMR 由 Bruker DRX-500 MHz, Bruker Avance III 600 MHz 和 Bruker AV-800 MHz 核磁共振波谱仪测定, TMS 作为内标, δ 为 ppm, J 为 Hz; HPLC 分析仪器为 Agilent 1260 型高效液相色谱仪, 色谱柱为 Agilent 公司的 ZORBAX SB-C₁₈ 反相柱 (9.6 × 150 mm, 5 μ m); 拌样硅胶为 100 ~ 200 目, 柱层析用硅胶为 200 ~ 300 目, 均为青岛海洋化工厂生产; 薄层硅胶板 G254 为青岛海祥化工厂生产; MCI 填充材料为 MCI-gel CHP-20P; 凝胶为 Sephadex LH-20; 显色剂为 10% H₂SO₄ 乙醇溶液, 喷洒后适当加热。所用试剂如石油醚、氯仿、乙酸乙酯、丙酮、甲醇等均为化学纯试剂, 重蒸使用。实验药材采于云南省宣威市, 由中国科学院昆明植物研究所植物园成晓副研究员鉴定。

2 提取与分离

干燥密花葵蓬枝叶 16 kg, 粉碎后用 95% 乙醇 (45 L × 3) 在室温下冷浸提取, 每次 24 h, 合并提取液, 减压浓缩回收乙醇, 得到粗提物 1.5 kg。将粗提物分散于水中, 用乙酸乙酯等体积萃取三次, 得到乙酸乙酯萃取物 770 g。乙酸乙酯部分 (750 g), 经硅胶柱层析用石油醚-丙酮 (1:0; 9:1; 7:3; 1:1; 0:1) 梯度洗脱, TLC 检测合并相同流分得 5 个部分 ($Fr_1 \sim Fr_5$)。 Fr_3 (104 g), 经中压色谱柱 (MCI) 用甲醇-水 (40% ~ 100%) 梯度洗脱, 得 8 个流分 $Fr_{3.1} \sim Fr_{3.8}$ 。 $Fr_{3.5}$ (897 mg) 经硅胶柱层析, 以石油醚-乙酸乙酯 (8:2 ~ 1:1) 梯度洗脱得组分 $Fr_{3.5.1} \sim Fr_{3.5.6}$ 。 $Fr_{3.5.3}$ (395 mg) 经反复正相硅胶柱层析纯化得化合物 **13** (1.0 mg)、**5** (19.3 mg) 和 **6** (3.6 mg)。 $Fr_{3.8}$ (11 g) 经硅胶柱层析, 以氯仿-甲醇 (100:1 ~ 50:1) 梯度洗脱得组分 $Fr_{3.8.1} \sim Fr_{3.8.5}$ 。 $Fr_{3.8.3}$ (53 mg), 经过半制备 HPLC (50% 乙腈-水, 流速 3 mL/min) 分离得化合物 **7** (2.3 mg, $t_R = 23$ min)。 $Fr_{3.8.4}$ (35 mg), 经过半制备 HPLC (40% 甲醇-水, 流速 3 mL/min) 分离得化合物 **14** (1.0 mg; $t_R = 40$ min)。 Fr_4 (193 g), 经中压色谱柱 (MCI) 甲醇-水 (40% ~ 100%) 梯度洗脱, 合并得 5 个流分 $Fr_{4.1} \sim Fr_{4.5}$ 。 $Fr_{4.2}$ (21 g) 经硅胶柱层析, 以石油醚-丙酮 (8:2 ~ 1:1) 梯度洗脱得组分 $Fr_{4.2.1} \sim Fr_{4.2.4}$ 。 $Fr_{4.2.1}$ (24 mg) 析出无色结晶, 通过甲醇重结晶得化合物 **15** (2.1 mg)。 $Fr_{4.2.3}$ (84 mg) 经

过半制备 HPLC (50% 甲醇-水, 流速 3 mL/min) 洗脱得化合物 **9** (10.6 mg; $t_R = 5$ min) 和 **10** (26.2 mg; $t_R = 12$ min)。 $Fr_{4.3}$ (16 g) 经硅胶柱层析, 以石油醚-乙酸乙酯 (7:3 ~ 1:1) 梯度洗脱得组分 $Fr_{4.3.1} \sim Fr_{4.3.5}$ 。 $Fr_{4.3.3}$ (105 mg) 经过凝胶 Sephadex LH-20 柱层析 (氯仿-甲醇 1:1) 洗脱得化合物 **8** (3.2 mg) 和 **12** (17.8 mg)。 Fr_5 (224 g) 经中压色谱柱 (MCI) 甲醇-水 (20% ~ 100%) 梯度洗脱, 得 4 个流分 $Fr_{5.1} \sim Fr_{5.4}$ 。 $Fr_{5.3}$ (6 g) 经硅胶柱层析, 以石油醚-乙酸乙酯 (1:2) 洗脱得组分 $Fr_{5.3.1} \sim Fr_{5.3.4}$ 。 $Fr_{5.3.2}$ (1 g) 经过凝胶 Sephadex LH-20 柱层析, 100% 甲醇洗脱得化合物 **11** (26.2 mg) 和 **3** (8.4 mg)。 $Fr_{5.3.3}$ (257 mg) 经反复硅胶柱层析, 及制备 TLC 分离得化合物 **4** (3.2 mg) 及化合物 **1** 和 **2** 的混合物 (2.1 mg)。

3 结构鉴定

化合物 **1** 和 **2**, 无色油状物, 为一对互相转化的顺反异构体, 比例约为 2:1。由高分辨质谱 (HR-ESI-MS) 给出的准分子离子峰 m/z 469.1835 [M + Na]⁺ (计算值为 469.1838, C₂₄H₃₀O₈Na), 可推断其分子式为 C₂₄H₃₀O₈, 不饱和度为 10。[α]_D^{25.3}-28.9 (c 0.12, MeOH); 紫外吸收 UV (MeOH) $\lambda_{\text{max}} (\log \varepsilon)$: 313 (4.20) nm。红外光谱 IR (KBr 压片法) ν_{max} 3404、1741、1709、1630、1604 cm⁻¹, 1514 cm⁻¹ 的强吸收, 表明该分子中存在羟基、羰基、双键及芳环。

从¹H 和¹³C NMR 谱 (见表 1) 可知, 化合物 **1** 中有 3 个亚甲基 [包括 2 个氧取代亚甲基, δ_H 3.75 (1H, dd, $J = 10.9, 7.8$ Hz, H-10a), 3.66 (dd, $J = 10.9, 6.3$ Hz, H-10b), 3.89 (1H, d, $J = 12.6$ Hz, H-11a), 3.88 (d, $J = 12.6$ Hz, H-11b); δ_C 61.8 (t, C-10), 62.2 (t, C-11)], 6 个次甲基 [包括 1 个氧取代次甲基, δ_H 5.35 (dt, $J = 5.7, 3.7$ Hz, H-7); δ_C 76.3 (d, C-7)、1 个半缩醛次甲基, δ_H 5.99 (d, $J = 4.7$ Hz, H-1); δ_C 93.2 (d, C-1) 和 1 个 SP² 杂化次甲基, δ_H 6.30 (s, H-3); δ_C 138.9 (d, C-3)], 1 个 SP² 杂化季碳 δ_C 119.1 (s, C-4)。进一步分析¹H 和¹³C NMR 数据, 该分子中存在一个异戊酰基结构单元 [δ_H 2.25 (overlap, H-2'), 2.06 (overlap, H-3'), 0.95 (6H, d, $J = 6.7$ Hz, H-4', 5'); δ_C 173.4 (s, C-1'), 44.3 (t, C-2'), 27.0 (d, C-3'), 22.8 (q, C-4', 5')] 和 1 个对香豆酰基 [δ_H 7.44 (d, $J = 8.7$ Hz, H-2'', 6''), 6.78 (d, $J = 8.7$ Hz, H-3'', 5''), 7.59 (d, $J =$

16.0 Hz, H-7''), 6.32 (d, $J = 16.0$ Hz, H-8''); δ_c 127.3 (s, C-1''), 131.4 (d, C-2'', 6''), 117.0 (d, C-3'', 5''), 161.5 (s, C-4''), 146.8 (d, C-7''), 115.4 (d, C-8''), 169.0 (s, C-9'')]。从上述数据推测化合物**1**为异戊酰基和对香豆酰氧基取代的环烯醚萜(图1)。比较化合物**1**与 patrinoside aglucone^[5]的1D NMR数据,发现两个化合物非常相似,主要不同之处在于化合物**1**的C-7位OH被对香豆酰氧基取代。在HMBC图谱中(图2) δ_h 5.35(H-7)与 δ_c 33.4(C-5),43.8(C-9),169.0(C-9'')相关,及 1H - 1H COSY中 δ_h 2.17(H-6a)/ δ_h 1.99(H-6b)/ δ_c 5.35(H-7)/ δ_c 2.21(H-8)相关证实上述推论。在ROESY图谱中(图1), δ_h 2.99(H-5)与2.21(H-8),3.66(H-10b)与2.27(H-9),3.66(H-10b)与5.99(H-1)相关,表明H-5和H-8为 α 取向,H-1和H-9为 β 取向。ROESY图谱中,5.35(H-7)与2.21(H-8),5.35(H-7)与1.99(H-6b)存在相关,5.35(H-7)与2.27(H-9)不存在相关,提示H-8为 α 取向。此外,H-7''与H-8''之间的耦合常数为16.0 Hz,表明对香豆酰基C-7''与C-8''双键为E构型。基于以上分析,化合物**1**的结构鉴定为如图1所示结构,命名为:密花莢蒾甲素。

分析化合物**2**的 1H 和 ^{13}C NMR数据(见表1),

表1 化合物**1**和**2**的 1H (600 MHz, CD₃OD)及 ^{13}C NMR(150 MHz, CD₃OD)数据

Table 1 1H (600 MHz) and ^{13}C NMR(150 MHz) data of **1** and **2** in CD₃OD

Position	1		2	
	δ_h	δ_c	δ_h	δ_c
1	5.99(d,4.7)	93.2 d	5.95(d,4.5)	93.1 d
3	6.30(s)	138.9 d	6.27(s)	138.7 d
4		119.1 s		119.2 s
5	2.99(m)	33.4 d	2.90(m)	33.2 d
6a	2.17(m)	38.3 t	2.14(m)	38.1 t
6b	1.99(m)		1.95(m)	
7	5.35(dt,5.7,3.7)	76.3 d	5.28(dt,5.6,3.5)	76.2 d
8	2.21(overlap)	48.0 d	2.15(overlap)	47.9 d
9	2.27(m)	43.8 d	2.08(m)	43.8 d
10a	3.75(dd,10.9,7.8)	61.8 t	3.61(dd,10.8,7.8)	61.7 t
10b	3.66(dd,10.9,6.3)		3.55(dd,10.8,6.3)	
11a	3.89(d,12.6)	62.2 t	4.04(d,12.5)	62.3 t
11b	3.88(d,12.6)		4.03(d,12.5)	
1'		173.4 s		173.5 s

表明化合物**2**与化合物**1**为一对顺反异构体,除了7'',8''位的核磁数据有较大差异外,其余位置数据基本一致。对香豆酰基结构单元中,共轭双键碳上的氢原子H-7''与H-8''之间的耦合常数为12.7 Hz,说明对香豆酰基C-7''与C-8''双键为Z构型。因此,化合物**2**的结构鉴定为图1所示结构,命名为:密花莢蒾乙素。

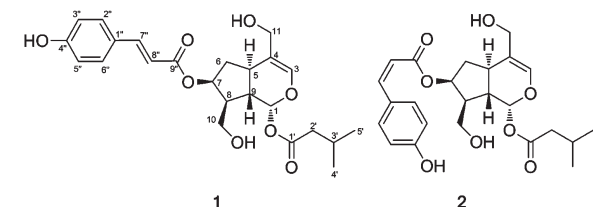


图1 化合物**1**~**2**的结构

Fig. 1 Chemical structures of compounds **1**~**2**

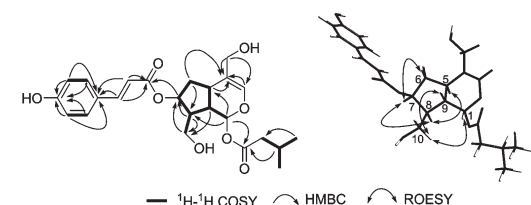


图2 化合物**1**的 1H - 1H COSY、HMBC 及 ROESY 的关键相关信号

Fig. 2 Key 1H - 1H COSY, HMBC and ROESY correlations of **1**

Position	1		2	
	δ_{H}	δ_{C}	δ_{H}	δ_{C}
2'	2.25 (overlap)	44.3 t	2.25 (overlap)	44.2 t
3'	2.06 (overlap)	27.0 d	2.06 (overlap)	26.9 d
4'/5'	0.95 (d, 6.7)	22.8 q	0.94 (d, 6.6)	22.8 q
1''		127.3 s		128.0 s
2''/6''	7.44 (d, 8.7)	131.4 d	7.55 (d, 8.7)	133.6 d
3''/5''	6.78 (d, 8.7)	117.0 d	6.73 (d, 8.7)	117.4 d
4''		161.5 s		160.2 s
7''	7.59 (d, 16.0)	146.8 d	6.88 (d, 12.7)	145.5 d
8''	6.32 (d, 16.0)	115.4 d	5.76 (d, 12.7)	117.4 d
9''		169.0 s		168.0 s

化合物 3 无色油状; ESI-MS m/z 413 [M + Na]⁺, 429 [M + K]⁺; ¹H NMR (600 MHz, CD₃OD) δ : 7.46 (1H, s, H-3), 5.19 (1H, d, J = 6.7 Hz, H-1), 4.66 (1H, d, J = 7.9 Hz, H-1'), 3.67 (3H, s, OMe), 3.56 (1H, m, H-10a), 3.54 (1H, m, H-10b); ¹³C NMR (150 MHz, CD₃OD) δ : 98.5 (d, C-1), 153.4 (d, C-3), 112.0 (s, C-4), 36.4 (d, C-5), 33.4 (t, C-6), 28.6 (t, C-7), 44.2 (d, C-8), 44.3 (d, C-9), 66.6 (t, C-10), 169.6 (s, C-11), 100.4 (d, C-1'), 74.7 (d, C-2'), 77.9 (d, C-3'), 71.5 (d, C-4'), 78.3 (d, C-5'), 62.7 (t, C-6'), 51.7 (q, OMe)。以上数据与文献^[6]报道对照基本一致, 故鉴定该化合物为 adoxoside。

化合物 4 白色粉末; ESI-MS m/z 591 [M - H]⁻; ¹H NMR (500 MHz, CD₃OD) δ : 7.64 (1H, d, J = 15.8 Hz, H-7'''), 6.35 (1H, d, J = 15.8 Hz, H-8'''), 6.31 (1H, s, H-3), 5.89 (1H, d, J = 4.5 Hz, H-1), 4.54 (1H, d, J = 8.1 Hz, H-1''), 4.21 (1H, d, J = 11.8 Hz, H-11a), 4.07 (1H, d, J = 11.8 Hz, H-11b), 3.42 (2H, m, H-10), 2.19 (2H, m, H-2'), 2.03 (1H, m, H-3'), 0.94 (6H, d, J = 6.6 Hz, H-4', 5'); ¹³C NMR (125 MHz, CD₃OD) δ : 93.0 (d, C-1), 140.6 (d, C-3), 115.3 (s, C-4), 36.7 (d, C-5), 30.8 (t, C-6), 28.1 (t, C-7), 43.7 (d, C-8), 44.9 (d, C-9), 66.4 (t, C-10), 69.8 (t, C-11), 173.5 (C-1'), 44.1 (t, C-2'), 26.8 (d, C-3'), 22.6 (q, C-4', 5'), 101.5 (d, C-1''), 75.2 (d, C-2''), 76.2 (d, C-3''), 71.8 (d, C-4''), 78.1 (d, C-5''), 62.7 (t, C-6''), 127.1 (s, C-1'''), 131.2 (d, C-2''', 6'''), 117.0 (d, C-3''', 5'''), 161.4 (s, C-4'''), 146.8 (d, C-7''), 114.8 (d, C-8'''), 168.2 (s, C-9''')。以上数据与文

献^[7]报道对照基本一致, 故鉴定该化合物为 2'-(E)-*p*-coumaroyldihydropenstemide。

化合物 5 白色粉末; ESI-MS m/z 471 [M - H]⁻; ¹H NMR (500 MHz, acetone-*d*₆) δ : 5.45 (1H, m, H-12), 3.67 (1H, J = 12.5 Hz, H-23a), 3.62 (1H, J = 12.5 Hz, H-23b), 3.12 (1H, dd, J = 11.0, 5.0 Hz, H-3), 0.98 (3H, m, H-24), 0.93 (6H, d, J = 6.2 Hz, H-29, H-30), 0.91 (3H, m, H-25), 0.83 (3H, m, H-26), 0.76 (3H, m, H-27); ¹³C NMR (125 MHz, acetone-*d*₆) δ : 39.2 (t, C-1), 27.8 (t, C-2), 78.6 (d, C-3), 41.0 (s, C-4), 48.9 (d, C-5), 18.6 (t, C-6), 34.6 (t, C-7), 37.6 (s, C-8), 48.0 (d, C-9), 37.6 (s, C-10), 23.2 (t, C-11), 130.4 (d, C-12), 135.8 (s, C-13), 42.6 (s, C-14), 28.7 (t, C-15), 25.3 (t, C-16), 48.8 (s, C-17), 56.0 (d, C-18), 39.5 (d, C-19), 39.5 (d, C-20), 31.1 (t, C-21), 37.5 (t, C-22), 64.5 (t, C-23), 13.2 (q, C-24), 16.4 (q, C-25), 17.8 (q, C-26), 24.3 (q, C-27), 178.8 (s, C-28), 17.8 (q, C-29), 21.5 (q, C-30)。以上数据与文献^[8]报道对照基本一致, 故鉴定该化合物为 3 β ,23-二羟基-乌苏烷-12-烯-28-酸(3 β ,23-dihydroxyurs-12-en-28-oic acid)。

化合物 6 白色粉末; ESI-MS m/z 457 [M + H]⁺, 479 [M + Na]⁺, 495 [M + K]⁺; ¹H NMR (600 MHz, CD₃OD) δ : 5.47 (1H, s, H-12), 3.39 (1H, d, J = 11.8 Hz, H-28a), 3.32 (1H, dd, J = 10.8, 5.2 Hz, H-3), 3.07 (1H, d, J = 11.8 Hz, H-28b), 1.34 (3H, s, H-27), 1.08 (3H, s, H-26), 1.06 (3H, s, H-23), 0.99 (3H, s, H-25), 0.93 (3H, d, J = 6.4 Hz, H-30), 0.83 (3H, d, J = 6.3 Hz, H-29), 0.76 (3H, s, H-24); ¹³C NMR (150 MHz, CD₃OD) δ : 40.4 (t, C-

1), 27.8(t, C-2), 79.3(d, C-3), 39.6(s, C-4), 55.4(d, C-5), 18.9(t, C-6), 33.8(t, C-7), 46.4(s, C-8), 62.8(d, C-9), 38.2(s, C-10), 202.0(s, C-11), 131.2(d, C-12), 167.1(s, C-13), 44.9(s, C-14), 27.6(t, C-15), 23.7(t, C-16), 40.1(s, C-17), 56.1(d, C-18), 40.6(d, C-19), 40.2(d, C-20), 31.5(t, C-21), 36.1(t, C-22), 28.6(q, C-23), 16.3(q, C-24), 17.0(q, C-25), 18.6(q, C-26), 20.9(q, C-27), 69.9(t, C-28), 17.8(q, C-29), 21.5(q, C-30)。以上数据与文献^[9]报道对照基本一致,故鉴定该化合物为ilelatifol A。

化合物7 白色粉末; ESI-MS *m/z* 457 [M + H]⁺, 479 [M + Na]⁺, 495 [M + K]⁺; ¹H NMR(800 MHz, CD₃OD) δ : 5.50(1H, s, H-12), 3.39(1H, d, *J* = 11.7 Hz, H-28a), 3.18(1H, dd, *J* = 10.6, 5.1 Hz, H-3), 3.17(1H, d, *J* = 11.7 Hz, H-28b), 1.41(3H, s, H-27), 1.14(6H, s, H-23, 26), 0.99(3H, s, H-25), 0.91(6H, d, H-29, 30), 0.78(3H, s, H-24); ¹³C NMR(200 MHz, CD₃OD) δ : 40.8(t, C-1), 28.3(t, C-2), 79.9(d, C-3), 40.7(s, C-4), 56.7(d, C-5), 19.1(t, C-6), 35.4(t, C-7), 45.3(s, C-8), 63.6(d, C-9), 38.8(s, C-10), 203.1(s, C-11), 129.2(d, C-12), 173.7(s, C-13), 43.8(s, C-14), 27.4(t, C-15), 23.1(t, C-16), 38.1(s, C-17), 44.6(d, C-18), 46.7(t, C-19), 32.4(s, C-20), 34.2(t, C-21), 32.2(t, C-22), 16.8(q, C-23), 29.1(q, C-24), 17.4(q, C-25), 19.6(q, C-26), 24.3(q, C-27), 70.2(t, C-28), 33.9(q, C-29), 24.4(q, C-30)。以上数据与文献^[10]报道对照基本一致,故鉴定该化合物为11-oxoerythrodiol。

化合物8 黄色粉末; ESI-MS *m/z* 303 [M - H]⁻; ¹H NMR(500 MHz, CD₃OD) δ : 6.96(1H, d, *J* = 2.0 Hz, H-2'), 6.83(1H, dd, *J* = 8.1, 2.1 Hz, H-6'), 6.79(1H, d, *J* = 8.1 Hz, H-5'), 5.89(1H, br sz, H-6), 5.07(1H, br s, H-8), 4.89(1H, d, *J* = 11.5 Hz, H-2), 4.49(1H, d, *J* = 11.5 Hz, H-3); ¹³C NMR(125 MHz, CD₃OD) δ : 85.1(d, C-2), 73.7(d, C-3), 198.4(s, C-4), 165.2(s, C-5), 96.3(d, C-6), 168.6(s, C-7), 97.3(d, C-8), 164.5(s, C-9), 101.8(s, C-10), 129.9(s, C-1'), 115.9(d, C-2'), 147.1(s, C-3'), 146.3(s, C-4'), 116.1(d, C-5'), 120.9(d, C-6')。以上数据与文献^[11]报道对照基本一致,故鉴定该化合物为花旗松素(taxifolin)。

化合物9 黄色粉末; ESI-MS *m/z* 289 [M - H]⁻; ¹H NMR(500 MHz, CD₃OD) δ : 6.83(1H, d, *J* = 1.9 Hz, H-2'), 6.75(1H, d, *J* = 8.1 Hz, H-5'), 6.71(1H, dd, *J* = 8.1, 1.9 Hz, H-6'), 5.92(1H, d, *J* = 2.1 Hz, H-6), 5.84(1H, d, *J* = 2.1 Hz, H-8), 4.54(1H, d, *J* = 7.5 Hz, H-2), 3.96(1H, m, H-3), 2.84(1H, dd, *J* = 16.5, 5.5 Hz, H-4a), 2.50(1H, dd, *J* = 16.5, 8.0 Hz, H-4b); ¹³C NMR(125 MHz, CD₃OD) δ : 82.8(d, C-2), 68.8(d, C-3), 28.5(t, C-4), 157.8(s, C-5), 96.4(d, C-6), 157.6(s, C-7), 95.5(d, C-8), 157.9(s, C-9), 100.8(s, C-10), 131.2(s, C-1'), 115.3(d, C-2'), 146.2(s, C-3'), 146.9(s, C-4'), 116.1(d, C-5'), 120.1(d, C-6')。以上数据与文献^[12]报道对照基本一致,故鉴定该化合物为儿茶素(catechin)。

化合物10 黄色粉末; ESI-MS *m/z* 289 [M - H]⁻; ¹H NMR(500 MHz, CD₃OD) δ : 6.97(1H, d, *J* = 1.8 Hz, H-2'), 6.79(1H, dd, *J* = 8.0, 1.7 Hz, H-5'), 6.78(1H, d, *J* = 8.0 Hz, H-6'), 5.93(1H, d, *J* = 2.3 Hz, H-6), 5.91(1H, d, *J* = 2.3 Hz, H-8), 4.80(1H, s, H-2), 4.17(1H, m, H-3), 2.87(1H, dd, *J* = 16.5, 4.5 Hz, H-4a), 2.72(1H, dd, *J* = 16.5, 2.5 Hz, H-4b); ¹³C NMR(125 MHz, CD₃OD) δ : 79.8(d, C-2), 67.5(d, C-3), 29.3(t, C-4), 158.0(s, C-5), 95.9(d, C-6), 157.6(s, C-7), 95.9(d, C-8), 157.4(s, C-9), 100.1(s, C-10), 132.3(s, C-1'), 115.3(d, C-2'), 146.2(s, C-3'), 146.7(s, C-4'), 115.9(d, C-5'), 119.4(d, C-6')。以上数据与文献^[13]报道对照基本一致,故鉴定该化合物为表儿茶素(epicatechin)。

化合物11 黄色粉末; ESI-MS *m/z* 435 [M - H]⁻; ¹H NMR(500 MHz, CD₃OD) δ : 6.98(1H, d, *J* = 1.9 Hz, H-2'), 6.89(2H, d, *J* = 8.0 Hz, H-2'', 6''), 6.79(1H, dd, *J* = 8.0, 1.9 Hz, H-5'), 6.77(1H, d, *J* = 8.0 Hz, H-6'), 6.60(1H, d, *J* = 8.0 Hz, H-3'', 5''), 6.20(1H, s, H-2'), 4.81(1H, s, H-2), 4.59(1H, d, *J* = 5.7 Hz, H-9), 4.22(1H, s, H-3), 3.07(1H, m, H-10), 3.06(1H, dd, *J* = 16.0, 7.0 Hz, H-4a), 2.86(3H, m, H-4b, 10a, 10b); ¹³C NMR(125 MHz, CD₃OD) δ : 79.7(d, C-2), 66.6(d, C-3), 29.5(t, C-4), 105.2(s, C-4a), 153.4(s, C-5), 96.3(d, C-6), 152.0(s, C-7), 106.0(s, C-8), 157.2(s, C-8a), 35.2(d, C-9), 38.4(t, C-10), 170.8(s, C-

11), 131.9(s, C-1'), 115.0(d, C-2'), 145.7(s, C-3'), 145.9(s, C-4'), 116.0(d, C-5'), 119.2(d, C-6'), 134.6(s, C-1''), 128.9(d, C-2'', 6''), 157.4(s, C-4''), 116.4(d, C-3'', 5'')。以上数据与文献^[14]报道对照基本一致,故鉴定该化合物为表儿茶素-[7, 8-bc]-4β-(4-羟基苯)-二氢-2(3H)-吡喃酮[epicatechin-(7, 8-bc)-4β-(4-hydroxyphenyl)-dihydro-2(3H)-pyranone]。

化合物 12 白色粉末; ESI-MS m/z 191 [M-H]⁻; ¹H NMR(500 MHz, acetone- d_6) δ : 7.84(1H, d, J = 9.5 Hz, H-4), 7.19(1H, s, H-8), 6.79(1H, s, H-5), 6.17(1H, d, J = 9.5 Hz, H-3), 3.89(3H, s, OCH₃); ¹³C NMR(125 MHz, acetone- d_6) δ : 161.2(s, C-2), 113.3(d, C-3), 144.6(d, C-4), 109.9(d, C-5), 145.8(s, C-6), 151.1(s, C-7), 103.6(d, C-8), 151.6(s, C-9), 112.0(s, C-10), 56.6(q, OCH₃)。以上数据与文献^[15]报道对照基本一致,故鉴定该化合物为东莨菪素(scopoletin)。

化合物 13 白色粉末; ESI-MS m/z 151 [M-H]⁻; ¹H NMR(600 MHz, CD₃OD) δ : 7.86(2H, d, J = 8.1 Hz, H-2, 6), 6.81(2H, d, J = 8.1 Hz, H-3, 5), 3.84(3H, s, OCH₃); ¹³C NMR(150 MHz, CD₃OD) δ : 122.2(s, C-1), 132.7(d, C-2, 6), 116.1(d, C-3, 5), 163.5(s, C-4), 168.7(s, C-7), 52.2(q, C-8)。以上数据与文献^[16]报道对照基本一致,故鉴定该化合物为对羟基苯甲酸甲酯(methylparaben)。

化合物 14 白色粉末; ESI-MS m/z 191 [M-H]⁻; ¹H NMR(500 MHz, CD₃OD) δ : 7.59(1H, d, J = 16.0 Hz, H-7), 6.78(2H, d, J = 8.4 Hz, H-2, 6), 6.80(2H, d, J = 8.4 Hz, H-3, 5), 6.29(1H, d, J = 16.0 Hz, H-8), 4.20(2H, q, J = 7.5 Hz, H-1'), 1.29(3H, t, J = 7.5 Hz, H-2'); ¹³C NMR(125 MHz, CD₃OD) δ : 127.1(s, C-1), 131.1(d, C-2, 6), 115.3(d, C-3, 5), 161.2(s, C-4), 146.3(d, C-7), 116.8(d, C-8), 169.3(s, C-9), 61.4(t, C-1'), 14.6(q, C-2')。以上数据与文献^[17]报道对照基本一致,故鉴定该化合物为(*E*)-对香豆酸乙酯[(*E*)-*p*-coumarinic acid ethyl ester]。

化合物 15 无色结晶(甲醇); ESI-MS m/z 163 [M-H]⁻; ¹H NMR(500 MHz, CD₃OD) δ : 7.58(1H, d, J = 15.6 Hz, H-7), 7.43(2H, d, J = 7.8 Hz, H-2, 6), 6.79(2H, d, J = 7.9 Hz, H-3, 5), 6.28(H, d, J = 15.6 Hz, H-8); ¹³C NMR(125 MHz, CD₃OD) δ :

127.3(s, C-1), 131.1(d, C-2, 6), 116.8(d, C-3, 5), 161.1(s, C-4), 146.4(d, C-7), 115.8(d, C-8), 171.5(s, C-9)。以上数据与文献^[18]报道对照基本一致,故鉴定该化合物为(*E*)-对香豆酸[(*E*)-*p*-coumarinic acid]。

参考文献

- Editorial Committee of Flora of China(中国植物志编辑委员会). Flora of China(中国植物志). Beijing: Science Press, 1988. 72, 12.
- Editorial Committee of Chinese Bencao(中华本草编辑委员会). Chinese Bencao(中华本草). Shanghai: Shanghai Scientific and Technical Publishers, 1999. 20, 550.
- Wang XY, Shi HM, Li XB. Chemical constituents of plants from the genus *Viburnum*. *Chem Biodivers*, 2010, 7: 567-593.
- Editorial Committee of Flora of China(中国植物志编辑委员会). Flora of China(中国植物志). Beijing: Science Press, 1988. 72, 30.
- Gering B, Wichtl M. Phytochemical investigations on *Penstemon hirsutus*. *J Nat Prod*, 1987, 50: 1048-1054.
- Damtoft SD, Jensen SR, Nielsen BJ. ¹³C and ¹H NMR spectroscopy as a tool in the configurational analysis of iridoid glucosides. *Phytochemistry*, 1981, 20: 2717-2732.
- Tomassini L, Cometa MF, Fodda S. Iridoid glucosides from *Viburnum prunifolium*. *Planta Med*, 1999, 65: 195.
- Sousa MP, Matos MEO, Machado MIL, et al. Triterpenoids from *Guettarda angelica*. *Phytochemistry*, 1984, 23: 2589-2592.
- Nishimura K, Miyase T, Noguchi H, et al. Acyl-CoA: cholesterol acyltransferase (ACAT) inhibitors from *Ilex* spp. *Nat Med*, 2000, 54: 297-305.
- Kagawa M, Minami H, Nakahara M, et al. Olennane-type triterpenes from *Viburnum awabuki*. *Phytochemistry*, 1998, 47: 1337-1341.
- Kiehlmann E, Li EPM. Isomerization of dihydroquercetin. *J Nat Prod*, 1995, 58: 450-455.
- Nahrstedt A, Proksch P, Conn EE. Dhurrin, (-)-catechin, flavonol glycosides and flavones from *Chamaebatia foliolosa*. *Phytochemistry*, 1987, 26: 1546-1547.
- Shi JY, Sun J, Wei XY, et al. Identification of (-)-epicatechin as the direct substrate for polyphenol oxidase from longan fruit pericarp. *LWT-Food Sci Technol*, 2008, 41: 1742-1747.
- David JM, Yoshida M, Gottlieb OR. Phenylpropanoid-catechins from bark of *Ocotea porosa*. *Phytochemistry*, 1994, 35: 545-546.

(下转第 640 页)